

# COMPRESSION D'IMAGE PAR MÉTHODE JPEG



TIPE 2025 Mathématiques - Informatique

---

# SOMMAIRE

## 1. La compression JPEG et ses outils

- a. Principe
- b. Transformée en Cosinus Discrète (avec quantification)
- c. Codage par plages (avec parcours en zigzag)

## 2. La décompression et ses outils

- a. Principe
- b. Codage par plages inversé (avec parcours en zigzag inversé)
- c. Transformée en Cosinus Discrète Inverse (avec déquantification)

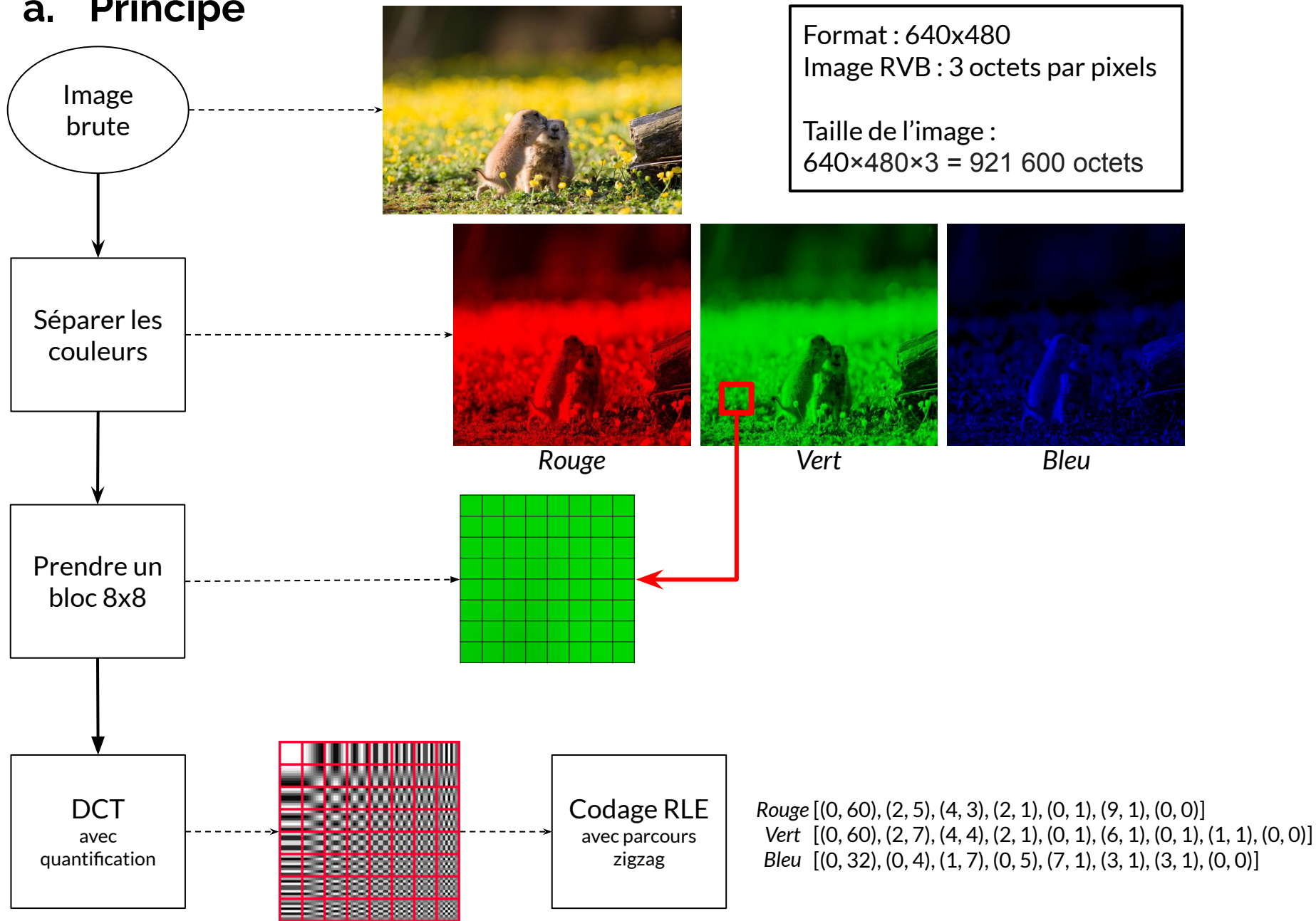
## 3. Limites de la compression JPEG

- a. Temps et complexité
- b. Les pertes d'informations
- c. Extension sur la détection de photomontages

---

# **1. La compression JPEG et ses outils**

## a. Principe



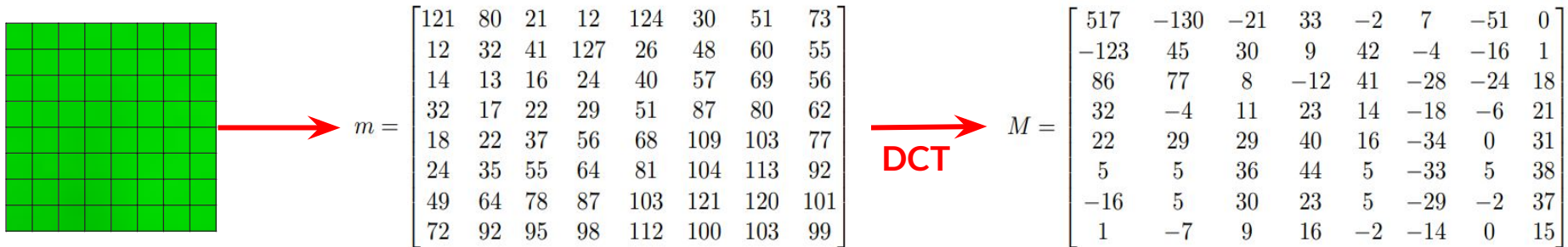
---

## b. Transformée en Cosinus Discrète (DCT)

Pour chaque bloc  $N \times N$  avec  $(u, v) \in [0, N - 1]^2$  :

$$DCT(u, v) = \frac{2}{N} C(u) C(v) \sum_{x=0}^{N-1} \sum_{y=0}^{N-1} pixel(u, v) \cos \left[ \frac{(2x+1)u\pi}{2N} \right] \cos \left[ \frac{(2y+1)v\pi}{2N} \right]$$
$$\text{avec } C(x) = \begin{cases} \frac{1}{\sqrt{2}} & \text{si } x = 0 \\ 1 & \text{si } x > 0 \end{cases}$$

Application DCT



## \_ D'où vient la Transformée en Cosinus Discrète?

Pour chaque bloc  $N \times N$  avec  $k \in [0, N-1]$ , et pour un signal  $s = (s_0, \dots, s_{N-1}) \in \mathbb{R}^N$  :  $DFT(k) = \sum_{n=0}^{N-1} s_n e^{\frac{-2\pi i k n}{N}}$

$$DCT_{1D}(k) = \Re(DFT(k)) = \sum_{n=0}^{N-1} s_n \cos\left[\frac{\pi}{N}\left(n + \frac{1}{2}\right)k\right] = \sum_{n=0}^{N-1} s_n \cos\left[\frac{(2n+1)k\pi}{2N}\right]$$

$(DCT_{1D}(0), \dots, DCT_{1D}(N-1))$  est l'écriture de  $(pixel(0), \dots, pixel(N-1))$  sur une base orthonormée  $(e_0, \dots, e_{N-1})$ , où :

$$\forall k \in [0, N-1], e_i = \left( \sqrt{\frac{2}{N}} C(k) \cos\left[\frac{(2i+1)k\pi}{2N}\right] \right)_{i \in [0, N-1]}$$

Où le facteur de normalisation  $C$  est défini par :  $\forall k \in [0, N-1], C(k) = \begin{cases} \frac{1}{\sqrt{2}} & \text{si } k = 0 \\ 1 & \text{si } k > 0 \end{cases}$

Notons  $P = [(e_0, \dots, e_{N-1})]_{(\varepsilon)}$  (avec  $(\varepsilon)$  la base canonique de  $\mathbb{R}^N$  :  $P \in \mathcal{O}(\mathbb{R})$ )

$$\begin{pmatrix} DCT_{1D}(0) \\ \vdots \\ DCT_{1D}(N-1) \end{pmatrix} = P^T \cdot \begin{pmatrix} pixel(0) \\ \vdots \\ pixel(N-1) \end{pmatrix}$$

Ainsi,  $\forall k \in [0, N-1], DCT_{1D}(k) = \sqrt{\frac{2}{N}} C(k) \sum_{n=0}^{N-1} pixel(n) \cos\left[\frac{(2n+1)k\pi}{2N}\right]$  avec  $C(k) = \begin{cases} \frac{1}{\sqrt{2}} & \text{si } k = 0 \\ 1 & \text{si } k > 0 \end{cases}$

## \_ Quantification par matrice standard de luminosité

Matrice obtenue après DCT :  $M =$

$$\begin{bmatrix} 517 & -130 & -21 & 33 & -2 & 7 & -51 & 0 \\ -123 & 45 & 30 & 9 & 42 & -4 & -16 & 1 \\ 86 & 77 & 8 & -12 & 41 & -28 & -24 & 18 \\ 32 & -4 & 11 & 23 & 14 & -18 & -6 & 21 \\ 22 & 29 & 29 & 40 & 16 & -34 & 0 & 31 \\ 5 & 5 & 36 & 44 & 5 & -33 & 5 & 38 \\ -16 & 5 & 30 & 23 & 5 & -29 & -2 & 37 \\ 1 & -7 & 9 & 16 & -2 & -14 & 0 & 15 \end{bmatrix}$$

$$p \times Q = p \times \begin{bmatrix} 16 & 11 & 10 & 16 & 24 & 40 & 51 & 61 \\ 12 & 12 & 14 & 19 & 26 & 58 & 60 & 55 \\ 14 & 13 & 16 & 24 & 40 & 57 & 69 & 56 \\ 14 & 17 & 22 & 29 & 51 & 87 & 80 & 62 \\ 18 & 22 & 37 & 56 & 68 & 109 & 103 & 77 \\ 24 & 35 & 55 & 64 & 81 & 104 & 113 & 92 \\ 49 & 64 & 78 & 87 & 103 & 121 & 120 & 101 \\ 72 & 92 & 95 & 98 & 112 & 100 & 103 & 99 \end{bmatrix} \xrightarrow[\text{Quantification}]{\substack{M / (p \times Q) \\ \text{terme à terme}}} M' = \begin{bmatrix} 32 & -12 & -2 & 2 & 0 & 0 & 0 & 0 \\ -10 & 4 & 2 & 0 & 2 & 0 & 0 & 0 \\ -1 & -1 & 0 & 1 & 0 & 0 & 0 & 0 \\ 6 & 6 & 0 & 0 & 0 & 0 & 0 & 0 \\ 2 & 0 & 0 & 0 & 0 & 0 & 0 & 0 \\ 0 & 0 & 0 & 0 & 0 & 0 & 0 & 0 \\ 0 & 0 & 0 & 0 & 0 & 0 & 0 & 0 \\ 0 & 0 & 0 & 0 & 0 & 0 & 0 & 0 \end{bmatrix}$$

**Q** : Matrice de quantification (compression  $\approx 50\%$ )

**p** : facteur de compression/de qualité (réel  $\geq 1$ )



---

# Parcours en zigzag

$$M' = \begin{bmatrix} 32 & 12 & 2 & 2 & 0 & 0 & 0 & 0 \\ -10 & 4 & 2 & 0 & 2 & 0 & 0 & 0 \\ -1 & -1 & 0 & 1 & 0 & 0 & 0 & 0 \\ 6 & 6 & 0 & 0 & 0 & 0 & 0 & 0 \\ 2 & 0 & 0 & 0 & 0 & 0 & 0 & 0 \\ 0 & 0 & 0 & 0 & 0 & 0 & 0 & 0 \\ 0 & 0 & 0 & 0 & 0 & 0 & 0 & 0 \\ 0 & 0 & 0 & 0 & 0 & 0 & 0 & 0 \end{bmatrix}$$

### Zigzag sur $M'$ :

[illegible]

## Application RLE

$$[(0,-1),(0,6)]$$

$$[(4,2)]$$

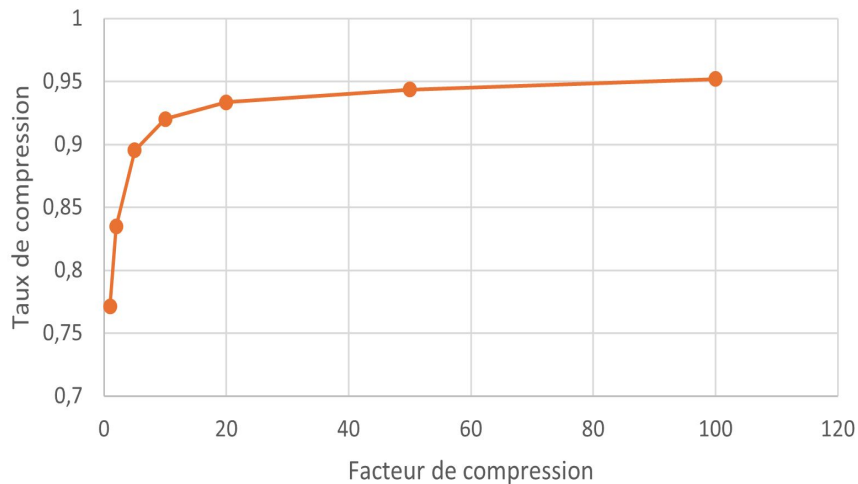
## RLE sur $L$ :

$$L' = [(0, 32), (0, -12), (0, -10), (0, -1), (0, 4), (0, -2), (0, 2), (0, 2), \underline{(0, -1), (0, 6)}, (0, 2), (0, 6), (4, 2), (0, 1), (0, 0)]$$

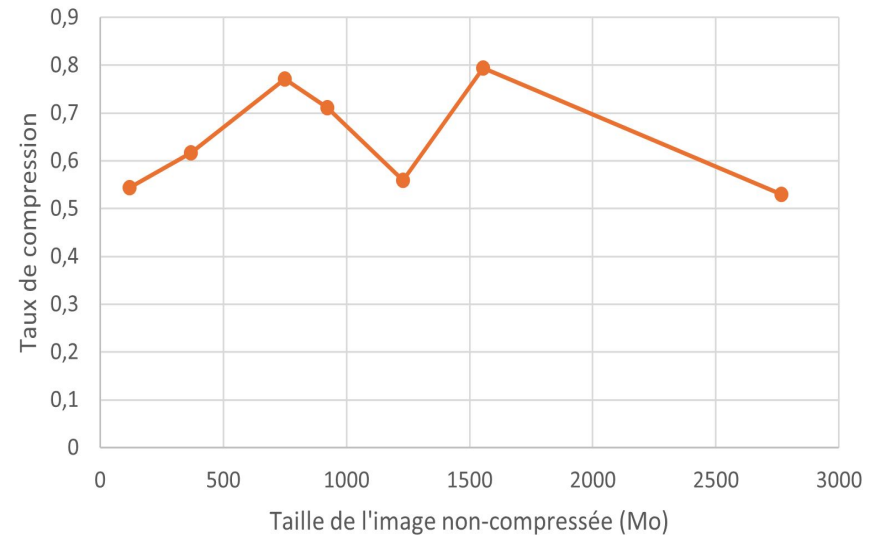


## Résultats et problèmes rencontrés

Taux de compression de l'image par rapport au facteur de compression



Taux de compression de l'image par rapport à sa taille initiale (facteur de compression de 1)



Sans `np.round()` , image plus lourde :

`[(0, 32.29687500000001), (0, -11.836334668845568), (0, -10.285761344047865), (0, 6.1081237788658695), (0, 3.789461803479678), (0, -2.1449019825281326), (0, 2.04983591802656), (0, 2.12412873605273), (0, 5.952375721654753), ...]`

Facteur trop grand :

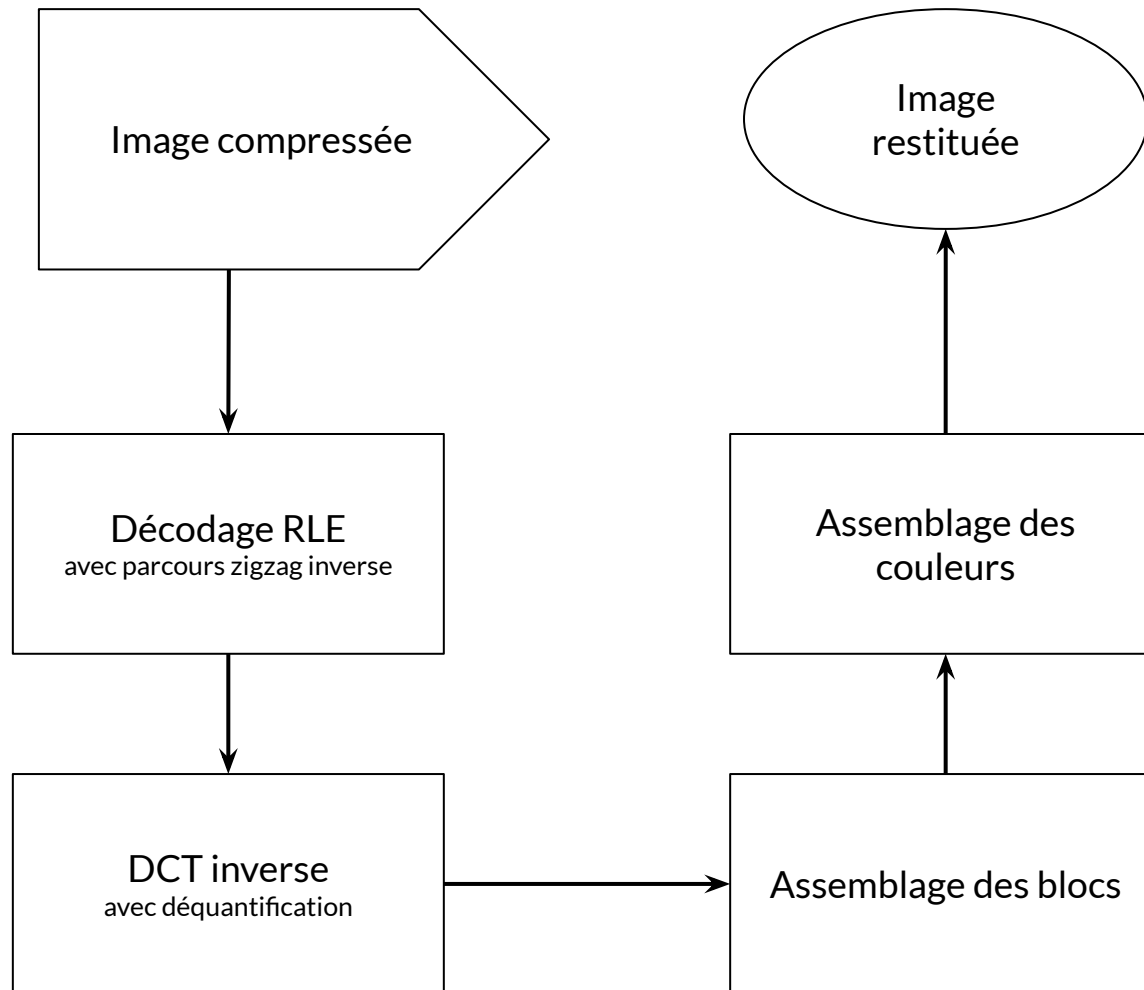
`p = 22` renvoie `[(0, 1), (0, -1), (0, 0)]`

`p = 65` renvoie `[(0,0)]`

---

## **2. La décompression et ses outils**

## a) Principe



## b) Codage par plages inversé (iRLE)

# Application iRLE

$$L' = [(0, 32), (0, -12), (0, -10), (0, -1), (0, 4), (0, -2), (0, 2), (0, 2), (0, -1), (0, 6), (0, 2), (0, 6), (4, 2), (0, 1), (0, 0)]$$



[illegible]

## Parcours en zigzag inversé

[illegible]



$$M' = \begin{bmatrix} 32 & -12 & -2 & 2 & 0 & 0 & 0 & 0 \\ -10 & 4 & 2 & 0 & 2 & 0 & 0 & 0 \\ -1 & -1 & 0 & 1 & 0 & 0 & 0 & 0 \\ 6 & 6 & 0 & 0 & 0 & 0 & 0 & 0 \\ 2 & 0 & 0 & 0 & 0 & 0 & 0 & 0 \\ 0 & 0 & 0 & 0 & 0 & 0 & 0 & 0 \\ 0 & 0 & 0 & 0 & 0 & 0 & 0 & 0 \\ 0 & 0 & 0 & 0 & 0 & 0 & 0 & 0 \end{bmatrix}$$

---

### c) Transformée en Cosinus Discrète inverse (iDCT)

Pour chaque bloc  $N \times N$  avec  $(x, v) \in [0, N - 1]^2$  :

$$pixel(x, y) = \frac{2}{N} \sum_{u=0}^{N-1} \sum_{v=0}^{N-1} C(u)C(v)DCT(u, v) \cos \left[ \frac{(2x+1)u\pi}{2N} \right] \cos \left[ \frac{(2y+1)v\pi}{2N} \right]$$
$$\text{avec } C(x) = \begin{cases} \frac{1}{\sqrt{2}} & \text{si } x = 0 \\ 1 & \text{si } x > 0 \end{cases}$$

---

En utilisant le même énoncé que la diapositive 6 :

Soit  $P = [(e_0, \dots, e_{N-1})]_{(\varepsilon)}$  (avec  $(\varepsilon)$  la base canonique de  $\mathbb{R}^N$ ).

$$\begin{pmatrix} DCT_{1D}(0) \\ \vdots \\ DCT_{1D}(N-1) \end{pmatrix} = P^T \cdot \begin{pmatrix} pixel(0) \\ \vdots \\ pixel(N-1) \end{pmatrix}$$

$$\text{Transformation inverse : } \begin{pmatrix} pixel(0) \\ \vdots \\ pixel(N-1) \end{pmatrix} = P \cdot \begin{pmatrix} DCT_{1D}(0) \\ \vdots \\ DCT_{1D}(N-1) \end{pmatrix}$$

$$\text{c'est à dire, } \forall k \in [0, N - 1], pixel(k) = \sqrt{\frac{2}{N}} \sum_{n=0}^{N-1} C(n)DCT_{1D}(n) \cos \left[ \frac{(2k+1)n\pi}{2N} \right]$$

$$\text{avec } C(k) = \begin{cases} \frac{1}{\sqrt{2}} & \text{si } k = 0 \\ 1 & \text{si } k > 0 \end{cases}$$

## — Résultats



Image d'origine



Facteur  $p=1$



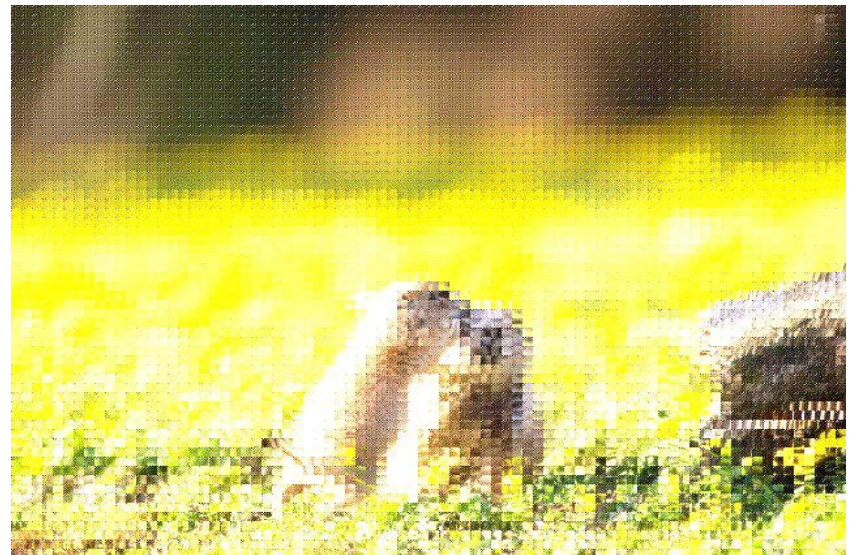
Facteur  $p=20$



Facteur  $p=100$



## — Problèmes rencontrés



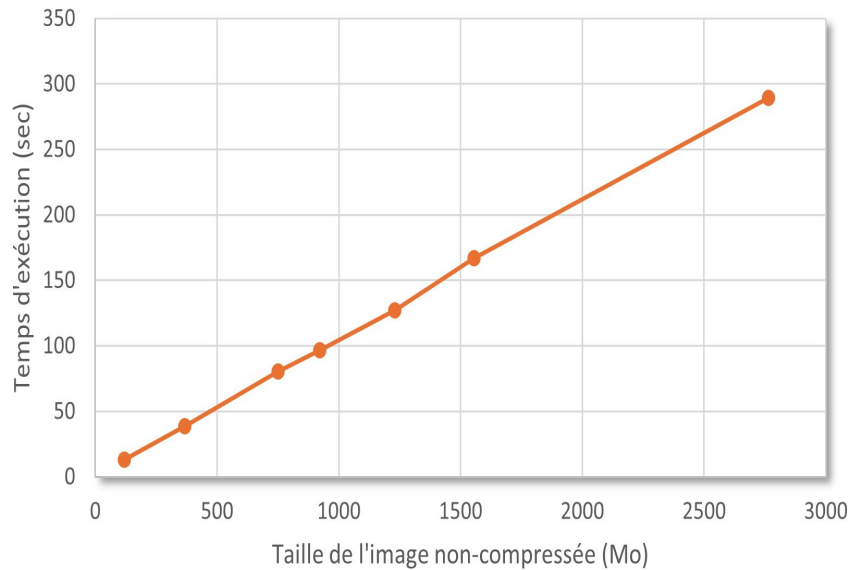


---

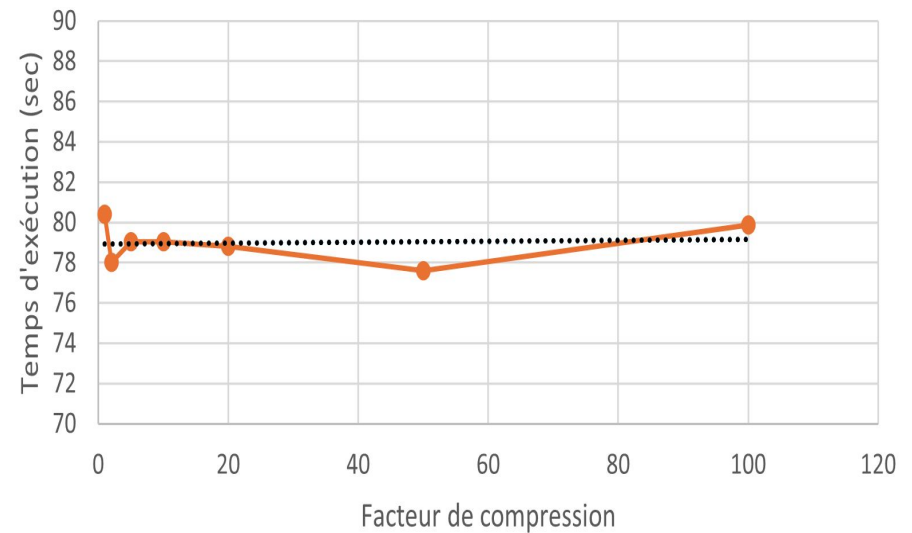
# **3. Limites de la compression JPEG**

## a) Temps et complexité

Temps d'exécution du programme de compression  
par rapport à la taille de l'image



Temps d'exécution du programme par rapport au  
facteur de compression



— Complexité

Nombre de blocs 8x8 d'une image de taille HxL :  $N = \frac{H \times L}{8^2}$

```
for u in range(8):  
    for v in range(8):  
        for x in range(8):  
            for y in range(8):
```

DCT :

par bloc :  $\mathcal{O}(8^4) = \mathcal{O}(4096) = \mathcal{O}(1)$

au total :  $\mathcal{O}(N) \cdot \mathcal{O}(1) = \mathcal{O}(N)$

De même pour la quantification, Zigzag et RLE :  $\mathcal{O}(N)$

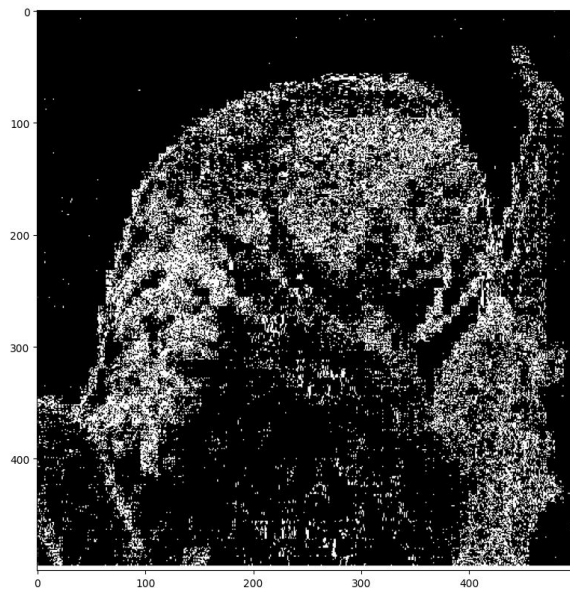
→ Complexité compression :  $4 \times \mathcal{O}(N) = \mathcal{O}(N)$

De même pour la décompression :  $\mathcal{O}(N)$

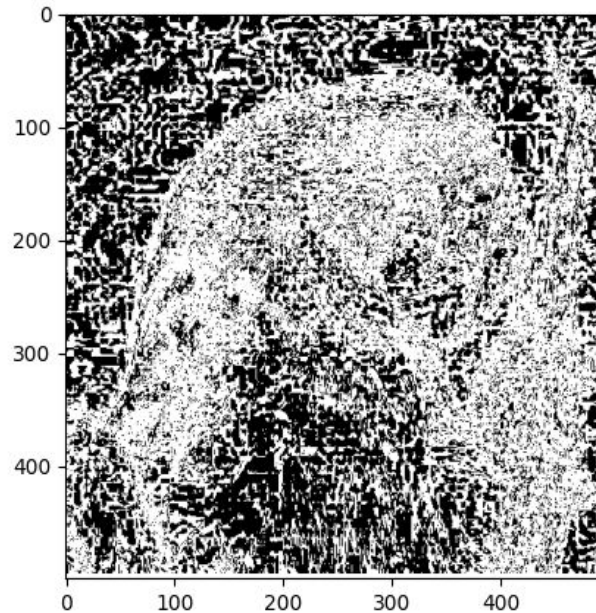
Complexité total :  $2 \times \mathcal{O}(N) = \mathcal{O}(N)$

## b) Les pertes d'informations

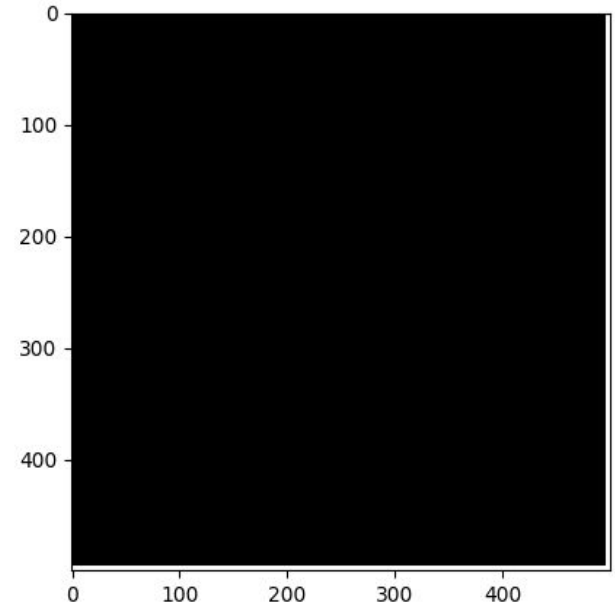
Via Matplotlib :



Facteur  $p=1$



Facteur  $p=5$



Sans quantification

## c) Extension sur la détection de photomontages

Comme la compression laisse des traces, des truccages sont alors détectables

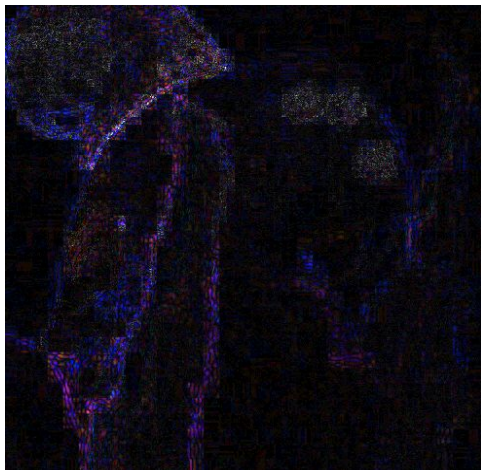
Méthode Error Level Analysis (ELA) :



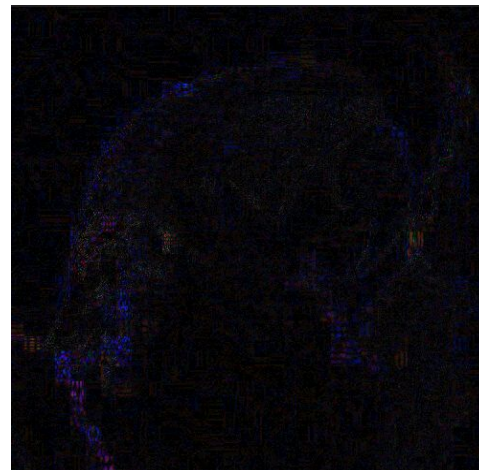
Image truquée



Image originale



Après ELA



Après ELA

---

# Conclusion

# Annexe

## Annexe 1 : Transformée en cosinus discrète en Python

```
import numpy as np
from PIL import Image

# Fonction pour la DCT 2D sur un bloc 8x8
def dct_2d(bloc):
    N = 8
    dct_bloc = np.zeros((N, N))

    for u in range(N):
        for v in range(N):
            somme = 0

            for x in range(N):
                for y in range(N):
                    somme += bloc[x, y] * np.cos(((2*x+1)*u*np.pi)/(2*N)) * np.cos(((2*y+1)*v*np.pi)/(2*N))

            C_u = np.sqrt(1/N) if u == 0 else np.sqrt(2/N)
            C_v = np.sqrt(1/N) if v == 0 else np.sqrt(2/N)
            dct_bloc[u][v] = round(C_u * C_v * somme)

    return dct_bloc
```



```
def zigzag(bloc):
    zigzag_ordre = []
    N = 8

    for i in range(2*N - 1):

        if i % 2 == 0:

            for j in range(i + 1):
                if i - j < N and j < N:
                    zigzag_ordre.append(bloc[i - j, j])

        else:
            for j in range(i + 1):
                if j < N and i - j < N:
                    zigzag_ordre.append(bloc[j, i - j])

    return zigzag_ordre
```

## Annexe 2 : Parcours en zigzag en Python

```
def rle(bloc_zigzaggé):
    resultat = []
    zero_compteur = 0

    for num in bloc_zigzaggé:
        if num == 0:
            zero_compteur += 1

        else:
            resultat.append((int(zero_compteur), int(num)))
            zero_compteur = 0

    resultat.append((0, 0)) # Fin de bloc
    return resultat
```

## Annexe 3 : Codage par plage sur une matrice en Python

```
def irle(rle_compressé):
    resultat = []

    for (zeros, num) in rle_compressé:
        resultat.extend([0] * zeros)

        if num != 0:
            resultat.append(num)

    return resultat
```

## Annexe 4 : Codage par plage inversé en Python

## Annexe 5 : Parcours en zigzag inversé en Python

```
def inverse_zigzag(zigzag_liste):
    N = 8
    index = 0
    bloc = np.zeros((N, N))

    for i in range(2 * N - 1):

        if index >= len(zigzag_liste): # Vérifie que l'on ne dépasse pas la longueur de la liste
            break

        if i % 2 == 0:
            for j in range(i + 1):
                if i - j < N and j < N and index < len(zigzag_liste):
                    bloc[i - j, j] = zigzag_liste[index]
                    index += 1
        else:
            for j in range(i + 1):
                if j < N and i - j < N and index < len(zigzag_liste):
                    bloc[j, i - j] = zigzag_liste[index]
                    index += 1

    return bloc
```

## Annexe 6 : Transformée en cosinus discrète inverse en Python

```
def idct_2d(bloc):
    N = 8
    idct_bloc = np.zeros((N, N))

    for x in range(N):
        for y in range(N):
            somme = 0

            for u in range(N):
                for v in range(N):

                    C_u = np.sqrt(1/N) if u == 0 else np.sqrt(2/N)
                    C_v = np.sqrt(1/N) if v == 0 else np.sqrt(2/N)
                    somme += C_u * C_v * bloc[u][v] * np.cos(((2*x+1)*u*np.pi)/(2*N)) * np.cos(((2*y+1)*v*np.pi)/(2*N))

            idct_bloc[x, y] = round(somme)

    return idct_bloc
```

## Annexe 7 : Fonction de compression en Python

```
def compresser_canal(canal):
    global facteur_compression
    canal_compressé = []

    for i in range(hauteur_blocs):
        for j in range(largeur_blocs):

            # Extraire le bloc 8x8
            bloc = canal[i*8:(i+1)*8, j*8:(j+1)*8]

            # Appliquer la DCT manuellement
            dct_bloc = dct_2d(bloc)

            #Quantifier les coeffs
            bloc_quantifié = np.round(dct_bloc / (facteur_compression * matrice_quantification))

            # Zigzag
            zigzaggé = zigzag(bloc_quantifié)

            # RLE
            rle_liste = rle(zigzaggé)

            canal_compressé.append(rle_liste)

    return canal_compressé
```

## Annexe 8 : Fonction de décompression en Python

```
def decompresser_canal(données_compressées, canal_decompressé):
    global facteur_compression
    données_decompressées=[]

    #IRLE + Inverse zigzag
    for i in range(len(données_compressées)):

        #IRLE
        irle_matrice = irle(données_compressées[i])

        #Inverse zigzag
        inv_zigzag = inverse_zigzag(irle_matrice)

        données_decompressées.append(inv_zigzag)

    #IDCT et déquantification
    bloc_indice=0
    for i in range(hauteur_blocs):
        for j in range(largeur_blocs):

            #Déquantification
            bloc = données_decompressées[bloc_indice] * facteur_compression * matrice_quantification

            #IDCT
            idct_bloc = idct_2d(bloc)

            canal_decompressé[i*8:(i+1)*8, j*8:(j+1)*8] = np.clip(idct_bloc, 0, 255)
            bloc_indice += 1

    return np.round(canal_decompressé)
```



## Annexe 9 : La partie du script qui appelle les fonctions et manipule l'image sur Python

```
# Charger l'image (en RVB)
image = np.array(Image.open('E:\\\\TIPE Maths COMPRESSION MP\\\\perroquet.jpg'))
facteur_compression = 1

# Séparer l'image en trois canaux (R, V, B)
R, V, B = image[:, :, 0], image[:, :, 1], image[:, :, 2]

# Diviser l'image en blocs 8x8
hauteur, largeur = image.shape[0], image.shape[1]
hauteur_blocs = hauteur // 8
largeur_blocs = largeur // 8

# Initialiser les matrices pour stocker les canaux compressés
R_zeros = np.zeros((hauteur, largeur))
V_zeros = np.zeros((hauteur, largeur))
B_zeros = np.zeros((hauteur, largeur))

# Compresser et décompresser les trois canaux séparément
R_compressé = compresser_canal(R)
V_compressé = compresser_canal(V)
B_compressé = compresser_canal(B)

R_decompressé = decompresser_canal(R_compressé, R_zeros)
V_decompressé = decompresser_canal(V_compressé, V_zeros)
B_decompressé = decompresser_canal(B_compressé, B_zeros)

# Fusionner les trois canaux compressés
image_decompressée = np.stack([R_decompressé, V_decompressé, B_decompressé], axis=2)

# S'assurer que les valeurs sont dans l'intervalle [0, 255]
image_decompressée = np.clip(image_decompressée, 0, 255).astype(np.uint8)

# Sauvegarder l'image compressée
img_decompressée = Image.fromarray(image_decompressée)
img_decompressée.save('decompressed_image_perroquet.jpg')
img_decompressée.show()
```

## Annexe 10 : Visualisation des pertes par Matplotlib sur Python

```
import matplotlib.pyplot as plt

diff = np.abs(image.astype(np.int16) - image_decompressée.astype(np.int16))

masque = np.sum(diff, axis=2) > 10
image_diff_binaire = np.zeros_like(image, dtype=np.uint8)
image_diff_binaire[masque] = [255, 255, 255]

plt.imshow(image_diff_binaire)
plt.show()
```

## Annexe 11 : Méthode Error Level Analysis en Python

```
image = Image.open('E:\\TIPE Maths COMPRESSION MP\\perroquet.jpg')
img_decompressée = Image.open("decompressed_image_perroquet.jpg")

# ELA
ela_image = ImageChops.difference(image, img_decompressée)
ela_image = ela_image.point(lambda x: x * 5) # Amplifie les différences
ela_image = ImageOps.invert(ela_image)

ela_image.show()
```